

# 論文 低強度コンクリート中における接着系アンカー筋の荷重伝達能力

山本泰穂<sup>\*1</sup>・片桐太一<sup>\*2</sup>・秋山友昭<sup>\*3</sup>・J. F. トンプソン<sup>\*4</sup>

**要旨:** 一般にコンクリートの圧縮強度が低い既存鉄筋コンクリート造建物ほど耐震性能が低いので耐震補強の緊急性は高い。このような建物の補強に多用される接着系あと施工アンカーの荷重伝達能力が不明なのでせん断試験(群体・単体)と引抜試験(単体)を行った。実験変数はコンクリートの圧縮強度・アンカー径・埋め込み長さ・へりあきである。圧縮強度が15MPa以下の低強度コンクリートを対象とした。あと施工アンカーの設計用数値についても提案する。

**キーワード:** 低強度コンクリート, あと施工アンカー, せん断試験, 引抜試験, 設計耐力

## 1.はじめに

最低のコンクリート圧縮強度として, 1919年公布の市街地建築物法施行規則は9MPaを認めていた。一方, 耐震診断基準<sup>1)</sup>は13.5MPaを示している。また, 耐震改修指針<sup>2)</sup>は12MPaを下まわる場合, 軸体コンクリートとして適切かどうかを慎重に検討するように定めている。過去の建築関係の文献では, 戦時体制下で品質の悪いセメントを多量に使うことの不経済性を強調しているのみで, 最低強度を13.5MPa前後に定める力学的な根拠を見いだすことはできない<sup>3)</sup>。

既存学校校舎から採集したコンクリートコア227本の圧縮試験では, 設計基準強度を下回わる確率が18.9%あった。特に1960年代のコンクリート強度が低く品質が粗悪なものもあった<sup>4)</sup>。コンクリート強度が低くても耐震補強が可能なら建物を保存しようとするのが, 資源節約の今日的要請であるとする立場から, 接着系あと施工アンカーを用いた補強設計の可能性をさぐる。

## 2. 実験計画

(1) 実験の方針: 耐震改修が急がれている現状を考慮し, できるだけ早く設計に反映させ

るような結果ができるように実験計画をたてた。特に鉄骨枠付き耐震補強工法及び増設RC耐震補強工法の際に使用される接着系あと施工アンカーを念頭においた。

### (2) 試験の種類とその概要

(a) 群体せん断試験: 枠付き鉄骨プレースの間接接合部を一部とりだして, 接着系アンカーの強度と変形及び破壊の性状を調べる。

(b) 単体せん断試験及び単体引抜試験: 基本的な強度と変形の性状及び破壊性状を知るために載荷試験を行う。アンカー筋を装着するコンクリート軸体は, その表・裏両面を使用し軸体の数を節約する。

### (3) パラメータ

(a) 軸体コンクリートの圧縮強度: 普通コンクリートFc5, Fc10及びFc15MPaの3種類。

(b) あと施工アンカー筋: D16, D19, D22の3種類とし, 有効埋込み長さ( $l_e$ )は $7d_a, 10d_a$ (ここで $d_a$ は径)の2種類。ただし, 群体せん断試験では $7d_a$ を装着した1種類。

(c) へりあき寸法(c): 100mmと200mmの2種類。ただし, 単体引抜試験では100mmと300mm。

### (4) 試験体の形状

(a) 群体せん断試験: 図1に標準的なアンカーのへりあき $c=200mm$ の場合と, 偏りのある $c=$

\*1 芝浦工業大学教授 工学部建築学科 工博(正会員) \*2 株善設計顧問(正会員)

\*3 株東京ソイルリサーチ 構造調査設計事業部長(正会員) \*4 Hilti (Japan) Ltd., Eng. Manager, B. S.

100mmの場合の試験体図を示す。総数は表1に示す15体である。この実験シリーズでは標準試験体の真ん中のアンカーリングとその周辺コンクリート中のひずみ度を調べるために、コンクリート強度ごとに各1体ずつ追加製作した。

(b)単体せん断試験: 図2に配筋詳細を示す。試験体総数は表2に示す合計108本である。

(c)単体引抜試験: 配筋は図2と同一だがアンカーリングを装着する表面の位置が異なる。試験体総数は表2に示す合計108本である。

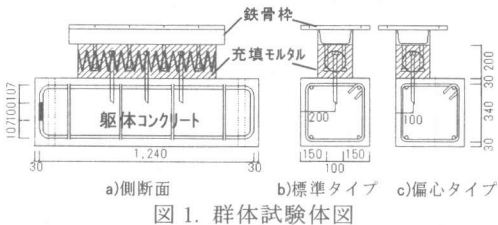


図1. 群体試験体図

表1. 群体試験体の構成

コンクリート 強度 (MPa)	アンカーリング (mm)	へりあき		計
		標準タイプ <sup>a</sup>	偏心タイプ <sup>b</sup>	
Fc 5	D19	2	1	3
	D22	1	1	2
Fc 10	D19	2	1	3
	D22	1	1	2
Fc 15	D19	2	1	3
	D22	1	1	2

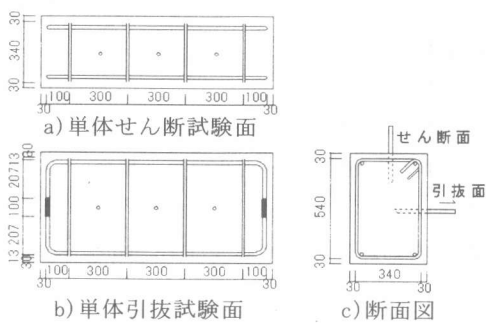


図2. 単体試験体図

### 5) 試験体記号

(a)群体せん断試験体: QG-C05-19E(例) 第1項はせん断(Q)と群体(G)を、第2項はコンクリート強度(C05MPa)を、更に第3項はアンカーリング(19)と偏心(E)・標準(S)・標準でゲージ付き(SG)の区別を示す。

(b)単体せん断試験体: Q7-C05-16E(例) 第1

表2. 単体試験体の構成 (せん断・引抜共通)

コンクリート強度 (MPa)	アンカーリング (mm)	埋め込み 深さ	へりあき		計
			標準タイプ <sup>a</sup>	偏心タイプ <sup>b</sup>	
Fc 5	D16	7da	3	3	12
		10da	3	3	
	D19	7da	3	3	12
		10da	3	3	
Fc 10	D22	7da	3	3	12
		10da	3	3	
	D16	7da	3	3	12
		10da	3	3	
Fc 15	D19	7da	3	3	12
		10da	3	3	
	D22	7da	3	3	12
		10da	3	3	

項はせん断(Q)と  $l_c(7d_a)$  を、又第2項はコンクリート強度(C05MPa)を示す。更に第3項はアンカーリングの径(16)と偏心(E)・標準(S)の区別を示す。

(c)単体引抜試験体: T7-C05-16E(例) 第1項は引抜(T)と  $l_c(7d_a)$  を示す。第2・3項は単体せん断試験体の場合と同じである。

### 3. 加力装置及び測定方法

#### 3.1 群体せん断試験

加力装置を図3に示す。原則として間接接合部に水平せん断力のみを加えた。加力フレームの自重がモルタル界面に約0.1MPaほど加わる。水平方向のせん断力(Q)と充填モルタル部分の水平変形( $\delta$ )を測定した。 $\delta$ はモルタルと鉄骨枠の界面におけるすべり量( $\delta_{SM}$ )とモルタルと躯体の界面におけるすべり量

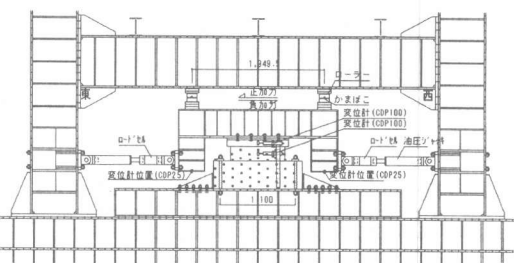


図3. 群体せん断試験装置



の a)QG-C05-19S 及び b)QG-C15-19S の  $Q$ - $\delta$  曲線とひび割れ図である。 $\sigma_B$  が大きくなると最大強度( $Q_{max}$ )も大きくなる。ただし粘りに大きな差異は認められない。又コンクリートが強くなると軸体のひび割れ数は少なくなる代わりに、モルタル部分のひび割れ数は逆に増えてくる。

アンカーラインが偏心した QG-C05-19E 及び QG-C15-19E の場合、C15 は  $\delta$  が大きくなつても荷重は上昇した。又軸体のひび割れ数は偏心があると増えた。C05 は軸体表面に数多くひび割れが発生するのに対し、C15 は荷重が大きくなるのでモルタル部分に多くのひび割れが発生した。

## 5.2 単体せん断試験

図 7 は標準タイプの a)Q7-C05-19S 及び b)Q7-C15-19S の  $Q$ - $\delta$  曲線とひび割れ図である。 $Q$ - $\delta$  曲線の初期剛性はコンクリート強度が変化しても殆ど影響をうけない。 $\delta$  がすすむに従って、C15 の  $Q_{max}$  は C05 の約 2 倍に上昇した。又軸体の  $\sigma_B$  が高くなるにつれてひび割れの数は少なくなる。ただし支圧による軸体の圧壊の範囲は強度が高いほど拡がる。

偏心のある Q7-C05-19E 及び Q7-C15-19E の場合、 $\sigma_B$  が高いと  $Q_{max}$  も高くなる。 $\sigma_B$  の初期剛性に与える影響は少ない。しかし  $Q_{max}$  に達する時のすべり量は、 $c=100mm$  の方が  $200mm$  のときに比べて小さく粘りもない。又  $Q_{max}$  の値も低い。へりあき部分の軸体の破損はコンクリートが弱いほど激しくなる傾向がみられた。

## 5.3 単体引抜試験

図 8 は  $c=300mm$  の場合の a)T7-C05-19S 及び b)T7-C15-19S の引抜力( $T$ )-拔出し量( $\delta$ )曲線とひび割れ図である。 $\sigma_B$  が低くとも初期引抜剛性に大きな差はない。しかし最大耐力( $T_{max}$ )は  $\sigma_B$  が高くなると 2 倍程度高くなり、変形追従能力もすぐれ、エネルギー吸収量には明らかに差がある。ひび割れは  $\sigma_B$  が低いと軸体全域に拡がる。 $\sigma_B$  の影響は明白である。 $c=100mm$  の

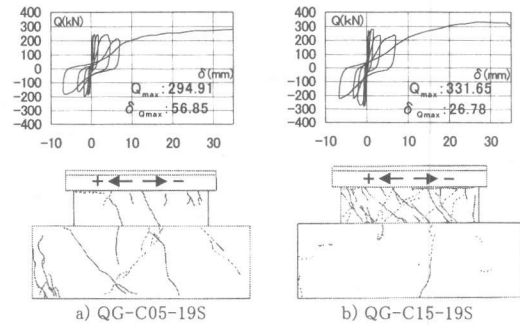


図 6. 群体せん断試験結果

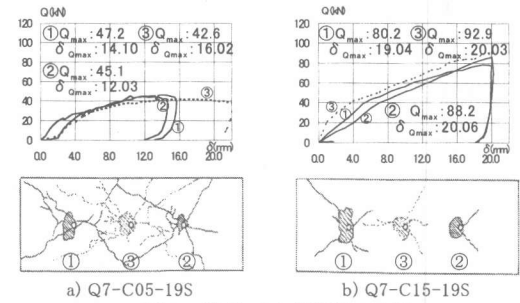


図 7. 単体せん断試験結果

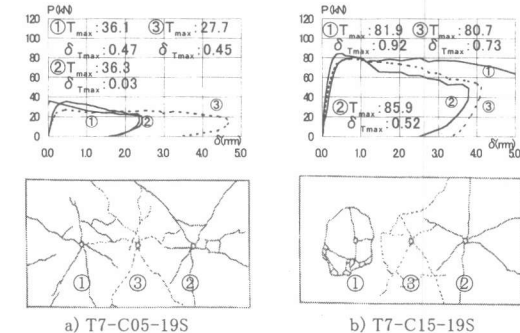


図 8. 単体引抜試験結果

T7-C05-19E と T7-C15-19E を比較すると、 $c=300mm$  の場合と同様、初期剛性に大きな違いはないものの、エネルギー吸収能力には差がある。ただし  $c=100mm$  だと  $\sigma_B$  が高くてもはしあきの影響を大きく受ける。 $c=100mm$  と小さいために、ひび割れはコンクリートの強弱にかかわらず自由表面に集中しておきた。

## 6. 実験結果の検討

### 6.1 せん断試験から得られた終局強度

(1)  $\sigma_B$  の影響: 図 9 に群体の最大せん断強度( $Q_{mg}$ )をアンカーラインの断面積( $A_a$ )で割って、平均せん断応力度( $\tau_{mg}$ )に直してプロットした。比較

のために単体試験のうち  $l_e=7d_a$  で D19 及び D22 の 2 種類から,  $c=100\text{mm}$  及び  $200\text{mm}$  のものの 3 本を平均した最大せん断応力度 ( $\tau_{ms}$ ) も示した。それぞれ回帰直線を求めた。 $\tau_{mg}$  の方が  $\tau_{ms}$  よりも高い強度を示す。群体はアンカー筋のせん断抵抗の他にコンクリートの摩擦抵抗があること、及び単体に比べて軸体とモルタルの界面で局部応力を受けなくてすんだことのためであると考えられる。

(2) アンカー径( $d_a$ )の影響: 図 10 に群体の  $\tau_{mg}$  と単体の  $\tau_{ms}$  をアンカー筋の径ごとに分類して示す。径の細いアンカー筋の方が平均せん断応力度は高くなり有効に働いているのが分かる。ばらつきはあるものの、 $\sigma_B$  が低くなるほど径の太い  $22\text{mm}$  は効率が悪くなる。

(3) はしあきの影響: 図 11 は  $\tau_{mg}$ ,  $\tau_{ms}$  の値とへりあき( $c$ )との関係を示す。 $c$  が大きくなると平均せん断応力度も大きくなる。回帰曲線と原点とを結ぶ実験曲線は  $\tau_m = A \alpha (c/100)^{0.15}$  で近似できる。ここに、 $A$  は群体又は単体かによって決まる定数で、群体は約 300、単体は約 150 である。 $\alpha$  は  $\sigma_B$  に関する影響係数で、 $\sigma_B$  が 5 MPa のとき 0.67,  $\sigma_B$  が  $10, 15\text{MPa}$  のとき 0.85 程度の値である。

(4)  $l_e$  の影響: 図 12 は  $\tau_{mg}$ ,  $\tau_{ms}$  の値と  $l_e$  との関係を示す。群体では全て  $l_e=7d_a$  としたが、単体では  $7d_a$  と  $10d_a$  の 2 種類がある。 $10d_a$  の方が強度は平均 1.15 倍程度高くなる。

(5)  $\tau_m$  に関する検討: 図 9 の数式にアンカーの降伏点強度を考慮して整理したのが式(1)及び(2)である。両者の差はせん断摩擦の影響と考えた。これらの基本式に以下の  $\phi_1$ ,  $\phi_2$  及び  $\phi_3$  を乗すればアンカー 1 本当たりのほぼ、最低せん断耐力値が求まる。

#### (a) コンクリート強度を考慮した基本強度

$$\text{群体: } \tau_{mg} = \{0.602 + 0.019 \sigma_B\} \sigma_y \quad \dots \dots \dots (1)$$

$$\text{単体: } \tau_{ms} = \{0.205 + 0.036 \sigma_B\} \sigma_y \quad \dots \dots \dots (2)$$

ここに、 $\tau_{mg}$ ,  $\tau_{ms} \leq \sigma_y$ ,  $\sigma_y$ : アンカー筋の引張降伏強度(MPa)

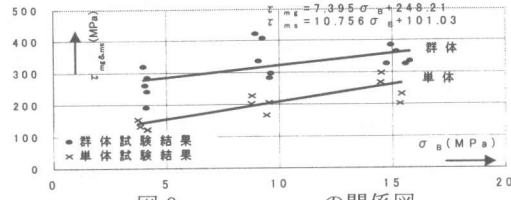


図 9.  $\sigma_B - \tau_{mg\&ms}$  の関係図

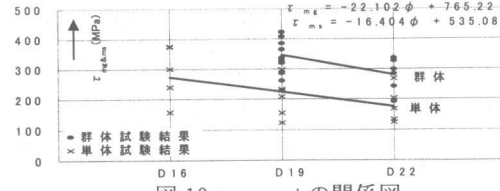


図 10.  $\tau_m - \phi$  の関係図

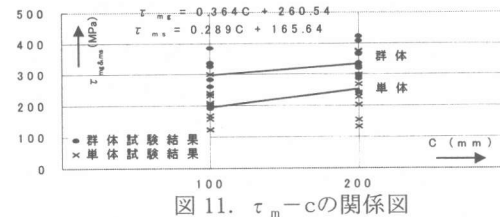


図 11.  $\tau_m - c$  の関係図

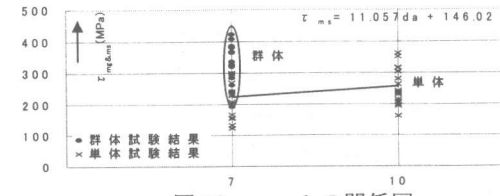


図 12.  $\tau_m - l_e$  の関係図

#### (b) アンカー径の影響係数

$$\phi_1 = 0.84 - 0.05(d_a - 22) \quad \dots \dots \dots (3)$$

$$(c) c の影響係数 \phi_2 = 0.85(c/100)^{0.15} \quad \dots \dots \dots (4)$$

ただし、 $\phi_2 \leq 1.0$  とする。なお、 $c$  の単位は [mm] にとり、 $\sigma_B = 5\text{MPa}$  のときは定数 0.85 を 0.67 に読みかえる。

(d)  $l_e$  の影響係数  $\phi_3$ :  $7d_a$  を基準(1.0)にとり  $10d_a$  の場合は 1.15 にとる。以上の結果は最大せん断強度のみから求めた値である。建物の層間変形角を 1/125 程度に制限したいときは、上記の基本式に低減係数 0.85 を乗ずると実験結果に近くなる。又、D22 で  $\sigma_B \leq 10\text{MPa}$  では危険側の数値になることがあるので注意を要する。

## 6.2 単体の引抜試験から得られた終局強度

(1)  $\sigma_B$  と  $l_e$  との関係: 図 13 は引抜試験体全部の最大荷重における引抜応力度 ( $\sigma_t = T_{max}/A_a$ )

と $\sigma_B$ との関係を示す。 $\sigma_B$ と $\sigma_t$ との間には明らかに比例関係があり、その関係は図9の $\tau_{ms}$ の場合よりも急な勾配となる。

(2) アンカー径の影響：図14は径ごとの $\sigma_t$ と $\sigma_B$ との関係を示す。径が細いほど $\sigma_t$ の値は大きくなる。特にD16は引抜強度が高い。 $\sigma_B \geq 15\text{ MPa}$ だと、D16及びD19の中に引張降伏するものがある。

(3) へりあきの影響：図15はcと $\sigma_t$ との関係を示す。c=300mmの場合には径が細いD16の $\sigma_t$ が大きくなり効率がよい。D22はc=300mmでも $\sigma_t$ の値は降伏点 $\sigma_y = 376\text{ MPa}$ には達しない。

(4)  $l_e$ の影響：図16は $l_e$ と $\sigma_t$ との関係を示す。一般に $l_e$ が長くなるに従って $\sigma_t$ の値は大きくなる。しかし、効率のことを考えるなら細いアンカー筋を使用した方が有利である。

(5) 終局強度に関する結果：以上図13～16のグラフを参考にして数量化を試みる。

(a) 基本式  $\sigma_t = 10.0 \sigma_B + 63.7$  ----- (5)

(b) アンカー径の影響係数 $\phi_1$ : D16で1.16, D19で1.00, D22で0.94にとる。

(c) cの影響係数  $\phi_2 = 0.85(c/100)^{0.15}$  ----- (6)  
ただし $\phi_2 \leq 1.0$ にとる。

(d)  $l_e$ の影響係数 $\phi_3$ : 7d<sub>a</sub>なら1.0, 10d<sub>a</sub>なら1.15にとる。

## 7. おわりに

接着系のあと施工アンカーを設計する際に有用な具体的な数値を示すことに重点をおいた。 $\sigma_B$ が5MPa程度でもせん断強度や引抜強度が急激に低下することはなかった。

## 8. 参考文献

- 1) (財)日本建築防災協会、「改定版既存鉄筋コンクリート造建築物の耐震診断基準同解説」, pp.62, 1990年12月
- 2) (財)日本建築防災協会、「改定版既存鉄筋コンクリート造建築物の耐震改修設計指針同解説」, pp.198, 1990年12月
- 3) 浜田稔, 「セメント強度試験法規格改正に就い

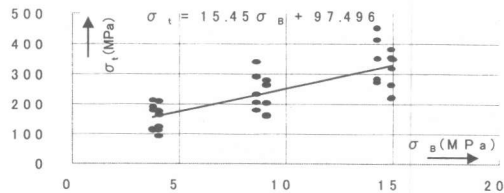


図13.  $\sigma_B - \sigma_t$  の関係図(全試験体)

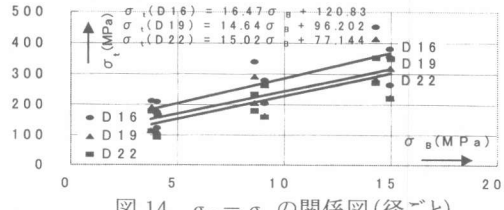


図14.  $\sigma_B - \sigma_t$  の関係図(径ごと)

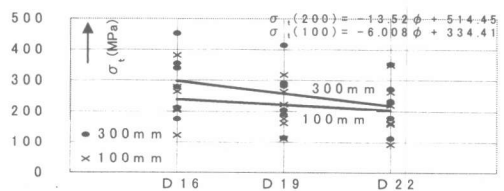


図15.  $\sigma_t - d_a$  の関係図

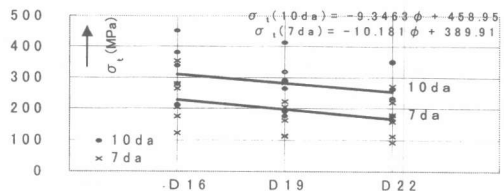


図16.  $\sigma_t - l_e$  の関係図

て」, 建築雑誌, pp.166-168, 1942年3月

4)周建東, 広沢雅也, 清水泰, 「関東地方A県下における学校校舎の耐震性能(その4)コンクリート強度および鉄筋種別」, 日本建築学会大会学術梗概集, pp.29, 1998年9月

**謝辞** 実験は矢作建設工業㈱の長久手実験場で行った。建築技術部加藤三晴次長及び技術課上田洋一氏には大変お世話になった。又モルタル充填にあたりシンエイマスター(株)から資材および労務の提供をうけた。更に実験の実施に当たり芝浦工業大学及び日本工业大学の学生諸君に大変お世話になった。特に大学院生有木克良君にはこの論文の作成にあたり協力してもらつた。関係者に深甚の謝意を表します。